

GPUスパコンTSUBAME 2.0 を用いた 超大規模メッシュ計算 — 次世代気象計算・樹枝状凝固成長シミュレーション —

下川辺 隆史

東京工業大学
学術国際情報センター

2012/12/3

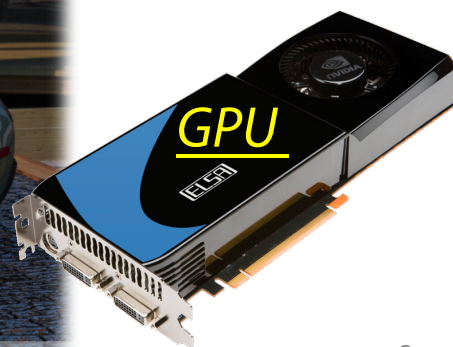
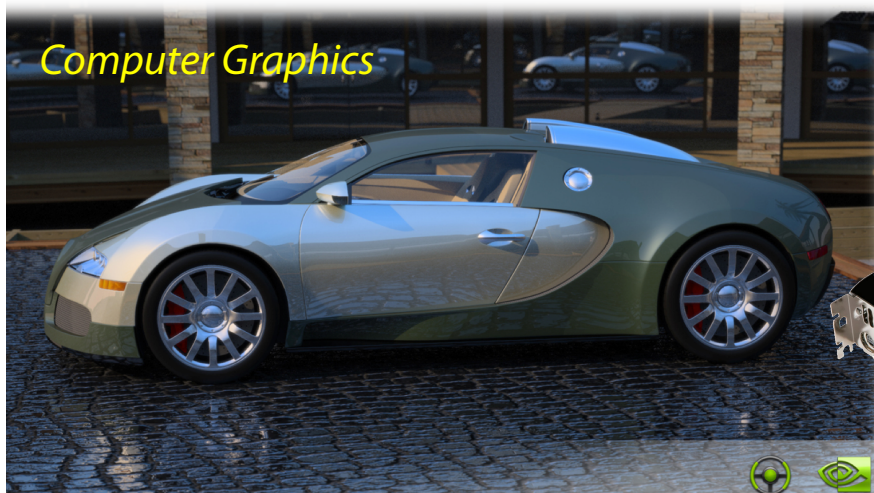
第18回 ビジュアライゼーションカンファレンス
(東京)

目次

- GPUを用いた汎用計算とGPUスパコンTSUBAME2.0
- 大規模気象計算
 - ✓ 気象計算のフルGPU化
 - ✓ オーバラップ手法
 - ✓ TSUBAME2.0 によるマルチGPU計算の実行性能
- フェーズフィールド法を用いた樹枝状凝固成長
 - ✓ GPU-CPU ハイブリッド計算
 - ✓ TSUBAME2.0 によるマルチGPU計算の実行性能
- まとめ

What's GPU ?

- Graphics Processing Unit
- もともと PC の3D描画専用の装置
- パソコンの部品として量産されている。=非常に安価



<http://www.nvidia.co.jp>

3

GPGPU

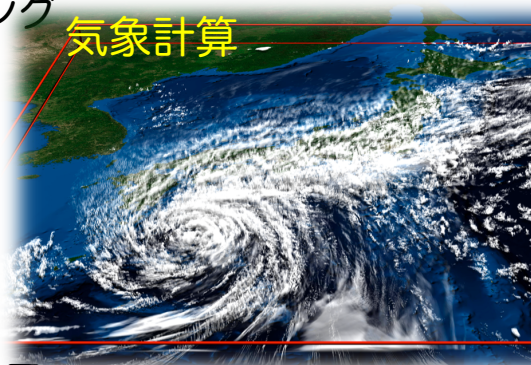
GPGPU

<http://gpgpu.org/>

- General Purpose computation on GPU

汎用GPU計算、GPUコンピューティング

- ✓ 数値流体力学 (CFD)
- ✓ N体問題
- ✓ 気象計算
- ✓ 高速フーリエ変換 (FFT)
- ✓ 分子動力学



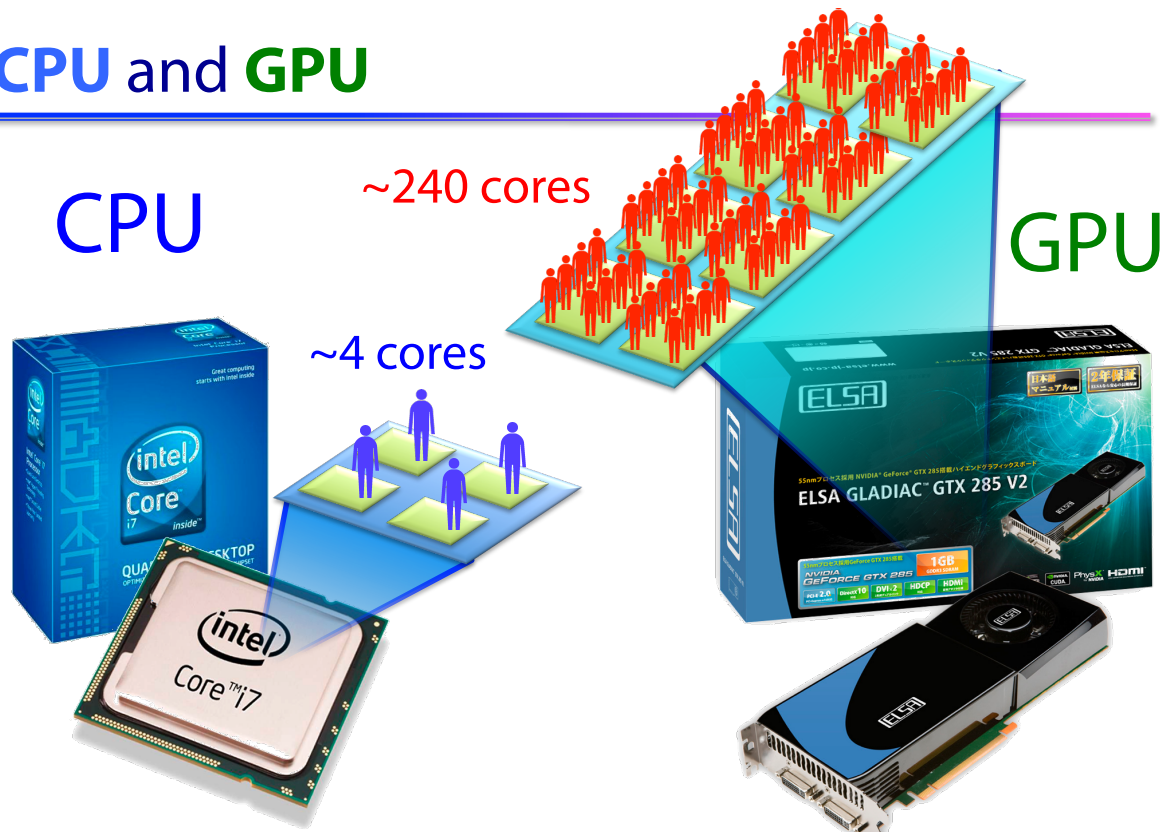
- GPGPU向けプログラミング言語の利用

→ グラフィックス向けAPIを使わず、科学計算が可能

- ✓ **CUDA** (NVIDIA GPUsに特化したC/C++拡張言語)
- ✓ OpenCL (複数社のCPUとGPUに対応した汎用言語)
- ✓ OpenACC (高レベルのディレクティブ・ベースのフレームワーク)

4

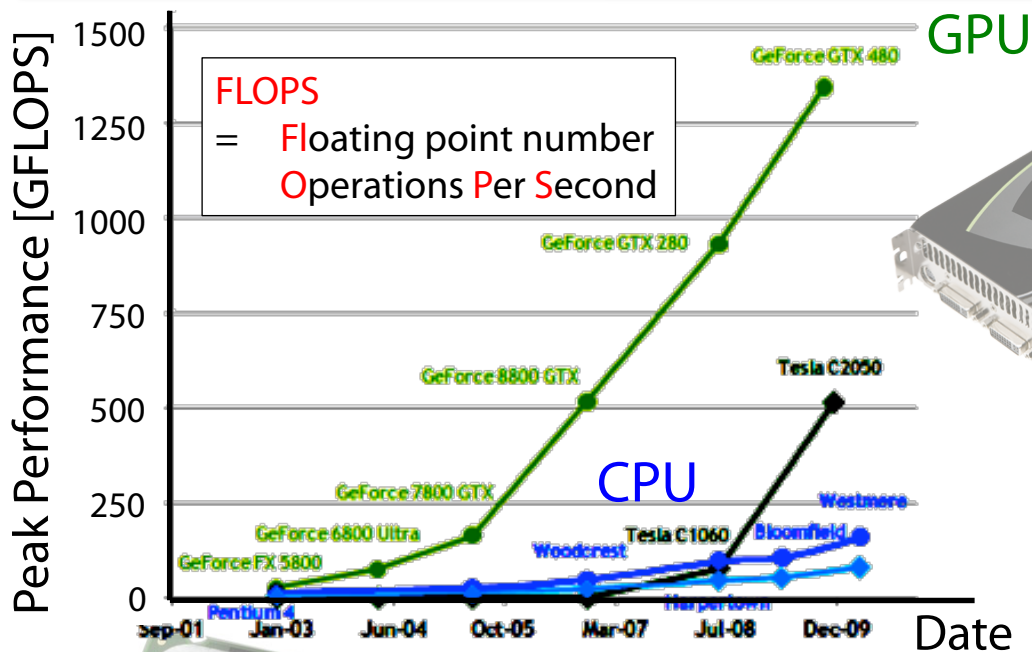
CPU and GPU



異なるデータに対して異なる命令を実行

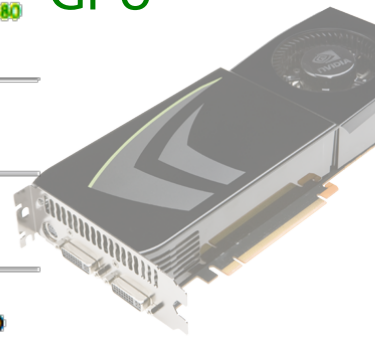
複数のデータに対して同じ命令を同時に実行 (SPMD, SIMD)

CPU and GPUの演算性能

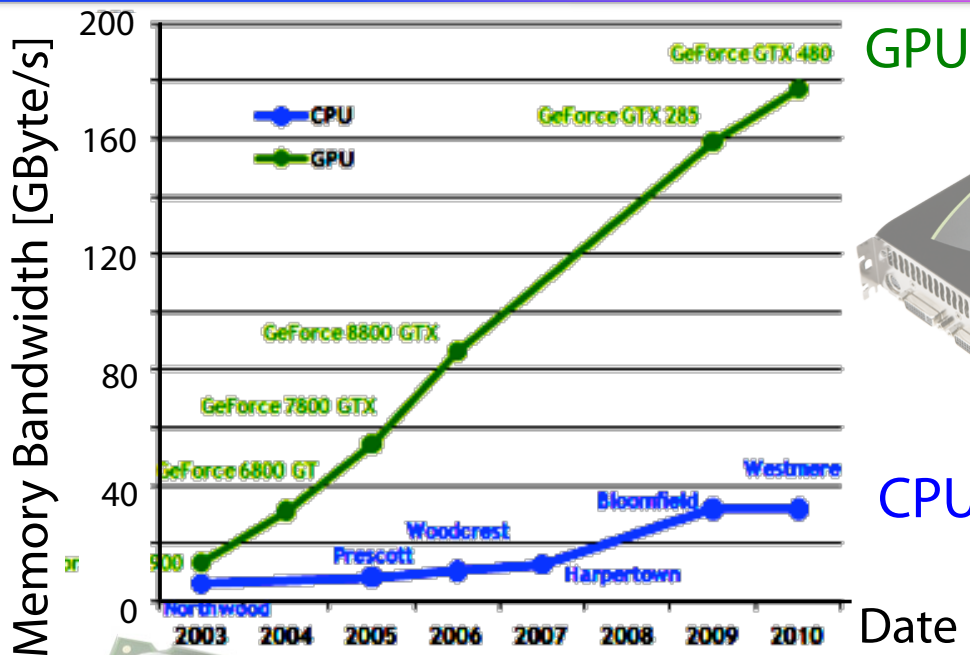


FLOPS
= Floating point
Operations Per Second

$d = a + b * c$
2 FLOP



CPU and GPUのメモリバンド幅



$$d = a + b * c$$

1 write (4 Byte), 3 reads (12 Byte)

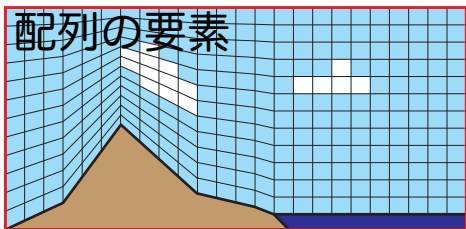
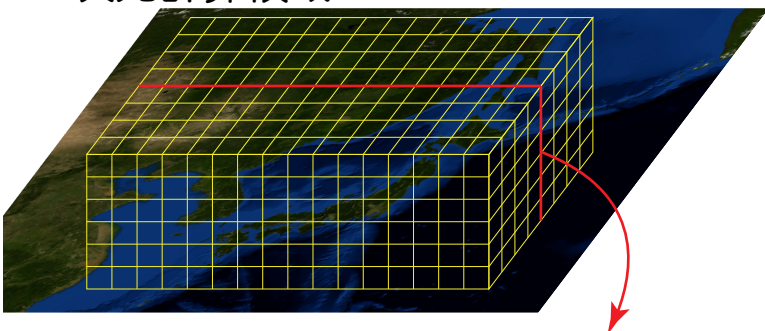
格子計算のアプリケーションでは多くの場合、演算性能よりもメモリバンド幅が重要

GPUによるメッシュ計算

- メッシュ計算：計算領域がメッシュに分割
- メッシュ上で偏微分方程式を離散化し解く

GPUによる気象計算

3次元計算領域

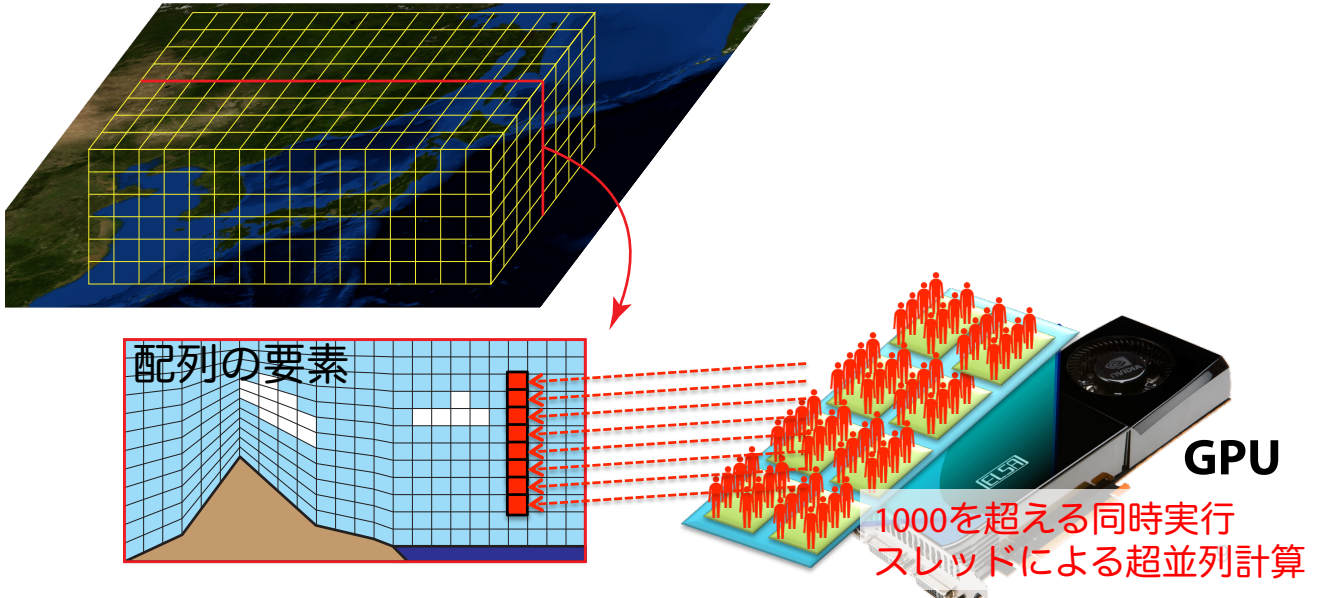


GPUによるメッシュ計算

- メッシュ計算：計算領域がメッシュに分割
- メッシュ上で偏微分方程式を離散化し解く

GPUによる気象計算

3次元計算領域



GPUによるメッシュ計算

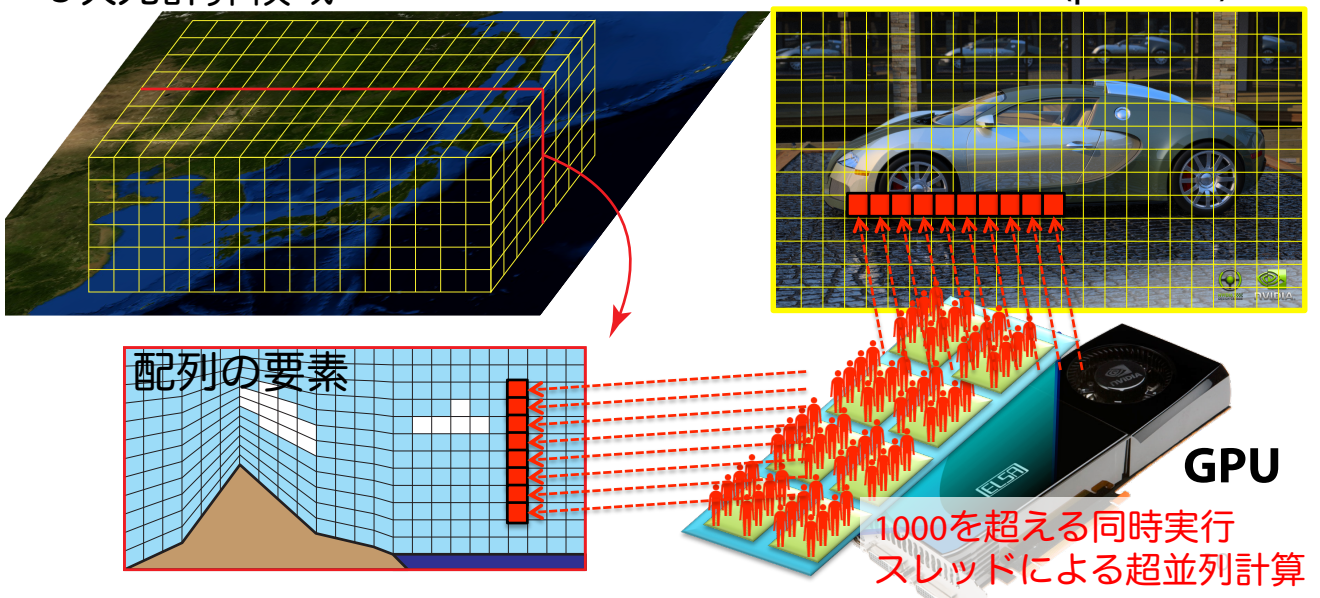
- メッシュ計算：計算領域がメッシュに分割
- メッシュ上で偏微分方程式を離散化し解く

GPUによる気象計算

3次元計算領域

GPUによる画像処理

画像要素 (pixels等)



Tokyo Tech **TSUBAME 2.0** Supercomputer

- TSUBAME 2.0 started operating in Nov. 2010



TSUBAME 2.0

NVIDIA Tesla "Fermi" M2050
515 GFlops (DP), 1030 GFlops (SP)
Memory BW 148 GB/s
4224 GPUs on TSUBAME 2.0

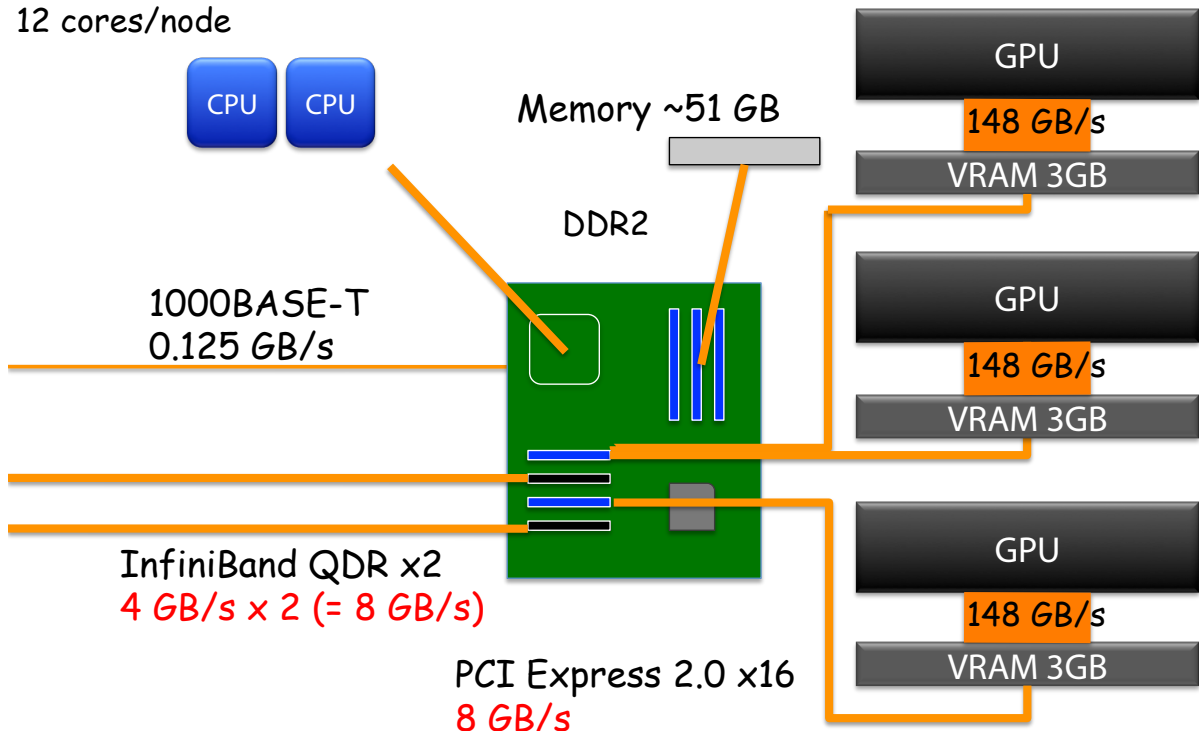


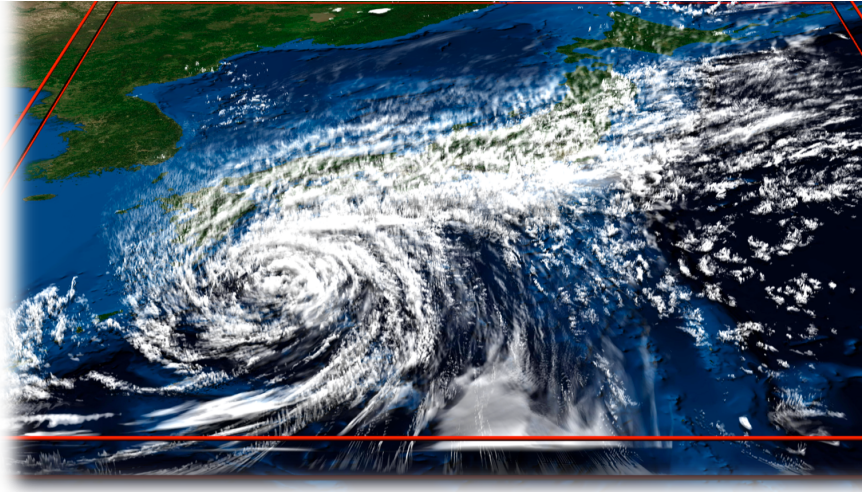
Node of TSUBAME 2.0

TSUBAME 2.0 Node detail

Intel Xeon X5670 6-cores 2.93 GHz
12 cores/node

NVIDIA Tesla "Fermi" M2050





Numerical Weather Prediction

ASUCA

13

高解像度の気象計算

■ ゲリラ豪雨

- ✓ 突発的で局地的な豪雨（～km - ～10km）
 - ✓ 参考：梅雨前線などによる集中豪雨（～100km）
- 現業の5km以下の格子で計算することが必須



<http://www.nikkeibp.co.jp/sj/2/column/z/33/>
http://trendy.nikkeibp.co.jp/lc/photorepo/080916_photo/

14

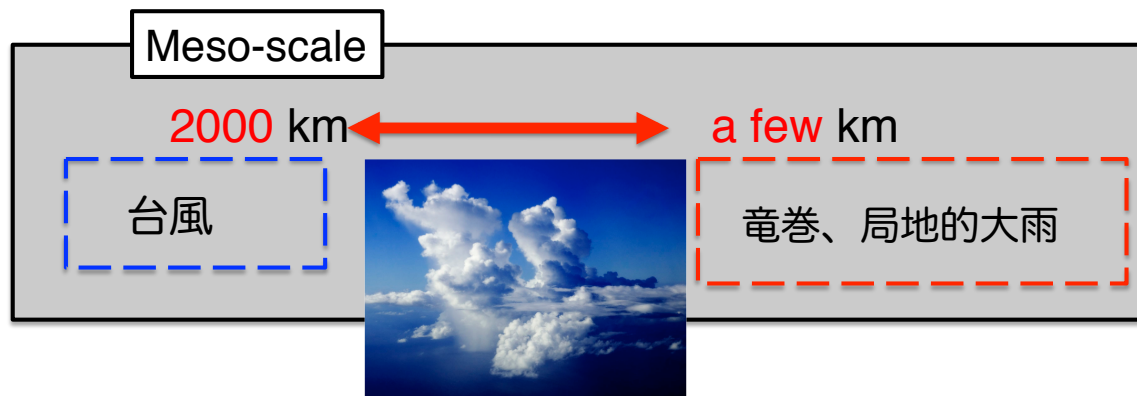
気象シミュレーションコードASUCA

■ ASUCA Production Code

- ✓ 気象庁によって開発が進められる次世代高解像度気象シミュレーションコード
- ✓ 完全圧縮非静力学方程式系
フラックス形式、一般座標系

■ なぜ GPU コンピューティング？

- ✓ 速い, 安い, 低消費電力



<http://wallpaper.free-photograph.net/>

15

気象計算におけるGPUによる高速化

■ The Weather Research and Forecast (WRF) の GPU 利用

= 計算律速の物理モジュールをGPUで部分的に加速

- 雲微物理モジュール WSM5 (WRF Single Moment 5-tracer) *
水物質(水蒸気、雲水、雨水、雲氷、雪)の混合比を予報
WRF の 1% のコード、25% の実行時間
⇒ 20 x 高速化
(アプリケーション全体で 1.2-1.3 倍の高速化)

■ 領域化学輸送モデル WRF-Chem**

特定の領域における汚染気体の輸送や化学反応
⇒ 8.5 x 高速化

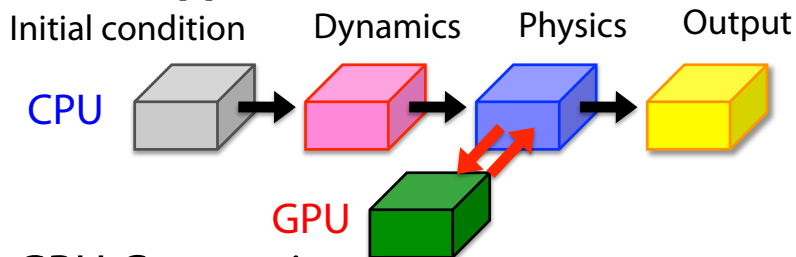
* Michalakes, J. and M. Vachharajani: GPU Acceleration of Numerical Weather Prediction. *Parallel Processing Letters* Vol. 18 No. 4. *World Scientific*. Dec. 2008. pp. 531—548

** John C. Linford, John Michalakes, Manish Vachharajani, and Adrian Sandu. Multi-core acceleration of chemical kinetics for simulation and prediction, *proceedings of the 2009 ACM/IEEE conference on supercomputing (SC'09)*, ACM, 2009.

WRFとASUCAの高速化のアプローチの違い

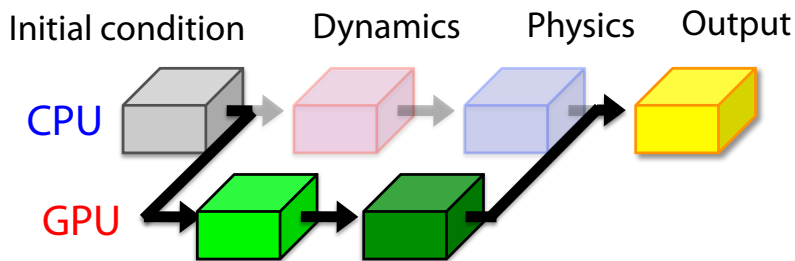
✓ WRF GPU Acceleration

Accelerator Approach



✓ ASUCA GPU Computing

Full GPU Approach → 数十倍の高速化の実現



17

ASUCA: Fortran から CUDA へ

- フル GPU アプリケーション
- ゼロから書き換え

```
Program init
implicit none
```

Fortran

```
integer i
integer a(10)
do i = 1, 10
  a(i) = i
end do
```

```
end program init
```

✓ 気象庁における
オリジナルコード

```
#include <iostream>
```

C/C++

```
int main()
{
  int i;
  int a[10];
  for(i=0; i<10; i++){
    a[i] = i + 1;
  }
}
```

✓ 配列の順序の交換

```
#include <cuda.h>
```

CUDA

```
global__ void init(int *a){
  [threadIdx.x] = threadIdx.x+1;
}

int main()
{
  int i;
  int *a;
  cudaMalloc(&a, sizeof(int)*10);
  init<<<1, 10>>>(a);
  cudaFree(a);
}
```

✓ GPU コード

3次元配列の要素順序

z,x,y (k,i,j)-ordering

x,z,y (i,k,j)-ordering

x,z,y (i,k,j)-ordering

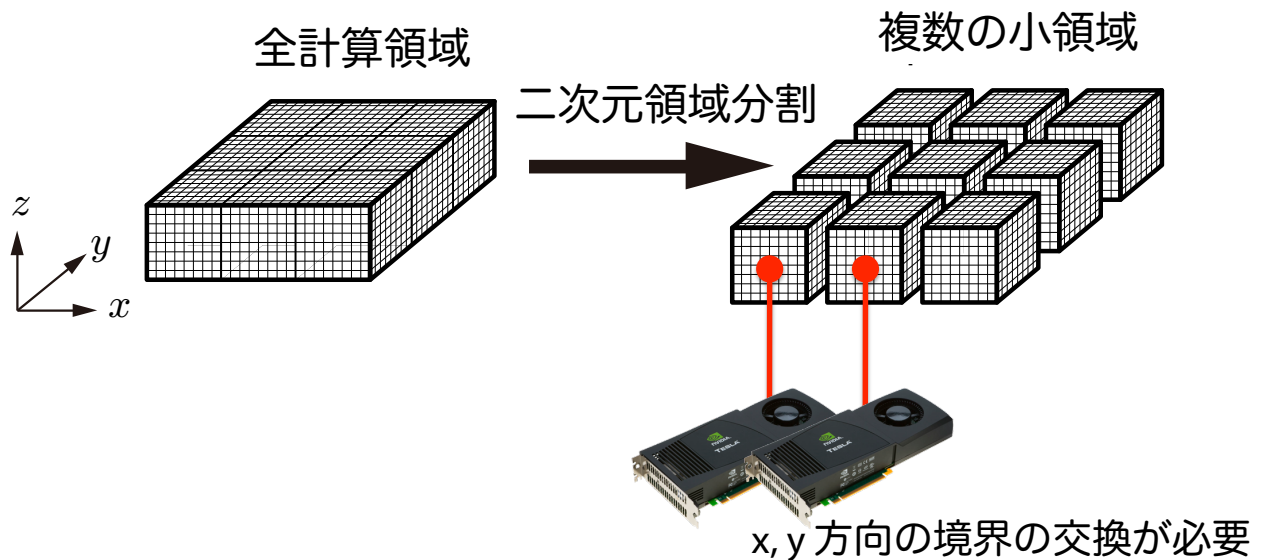
➔ GPUコードでのメモリアクセスパフォーマンスを向上

18

マルチGPU計算：領域分割

■ 二次元領域分割 (x, y 方向)

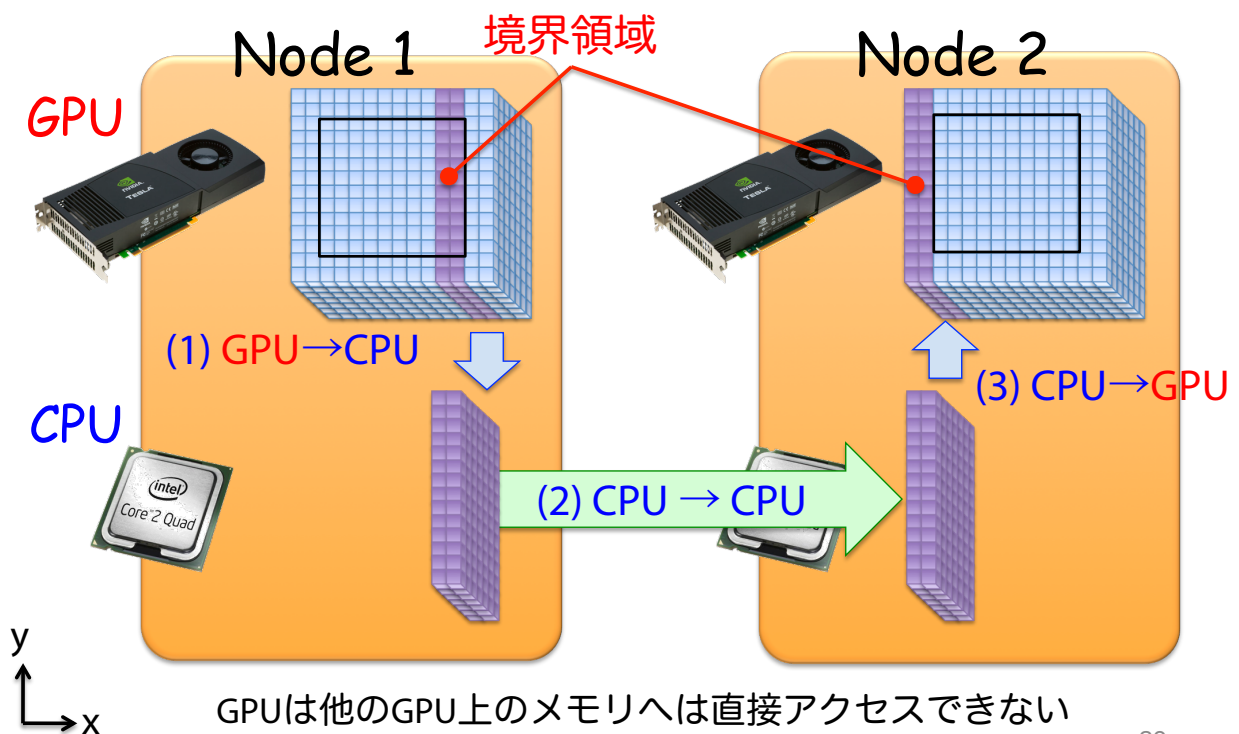
- ✓ 水平方向の格子数 ~ 1000 > 鉛直方向の格子数 ~ 100
- ✓ 256 x 208 x 48 Sub-domain / GPU



19

マルチGPU計算：境界領域のデータ交換

■ MPIを用いたGPUとCPUによるデータ交換



20

マルチGPU計算における最適化手法

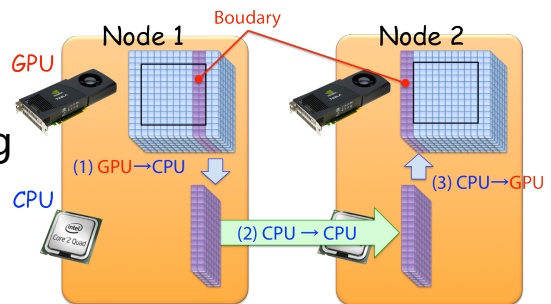
■ 計算と通信のオーバーラップ

ある変数に対する計算の典型例



■ 最適化手法

- ✓ (1) Inter-variable Overlapping
- ✓ (2) Kernel division Overlapping
- ✓ (3) Fused Kernel Overlapping

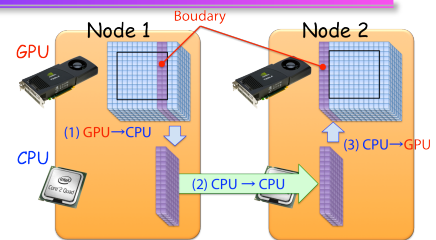


21

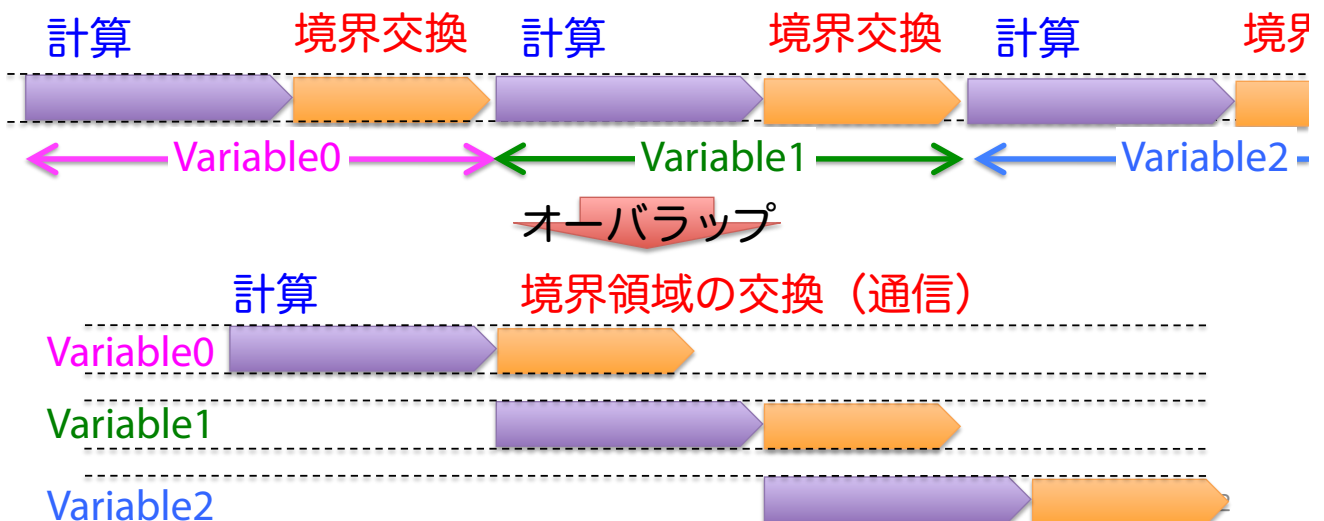
最適化手法 1 : Inter-variable Overlapping

■ 最適化手法 1

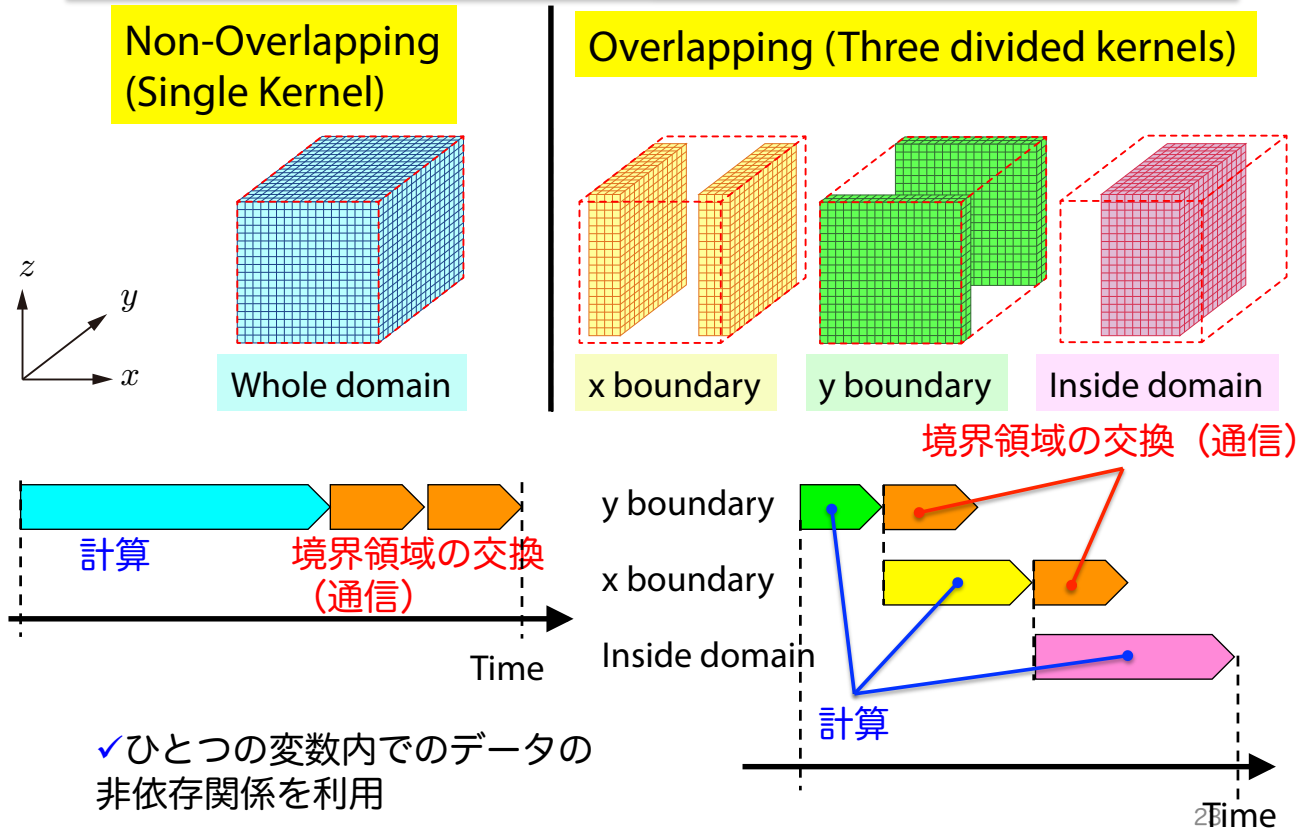
- ✓ 変数間の非依存関係の利用
- ✓ 水物質の移流計算へ適用



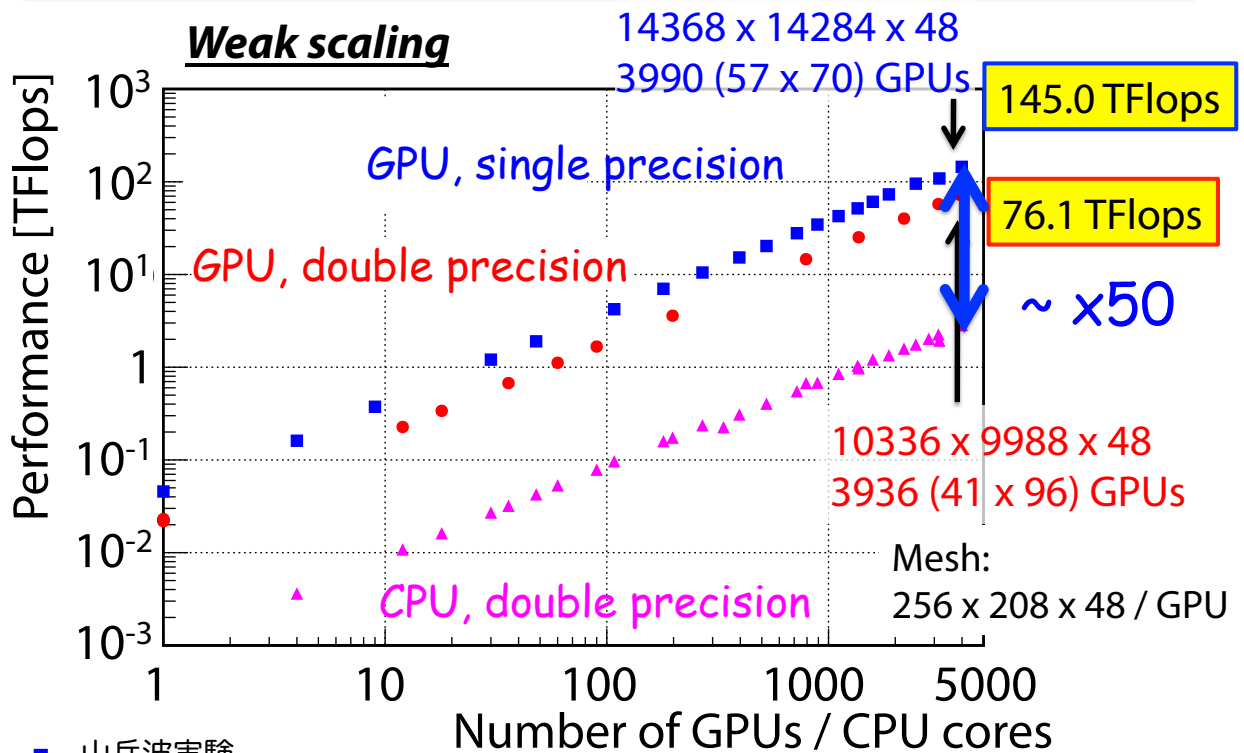
Time →



最適化手法 2 : Kernel division Overlapping

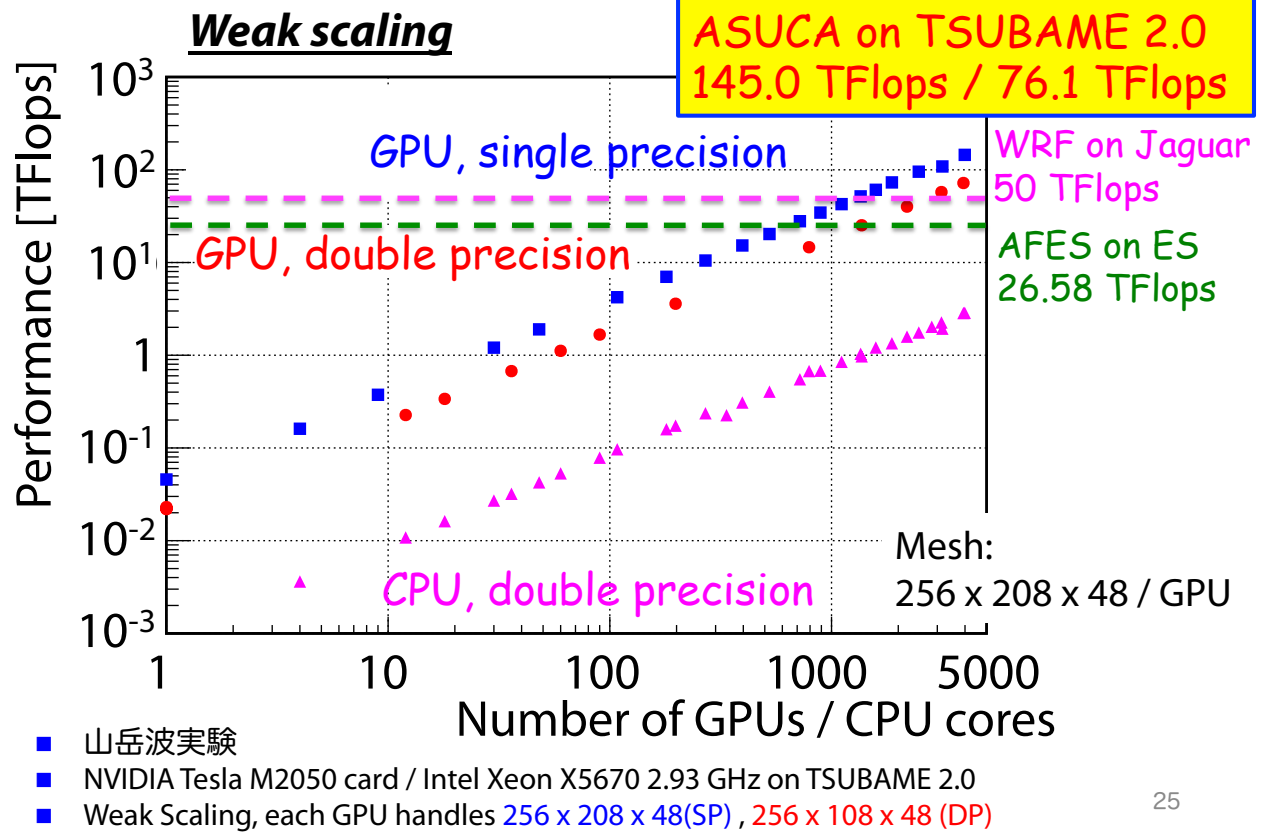


TSUBAME 2.0によるASUCAの計算性能



- 山岳波実験
- NVIDIA Tesla M2050 card / Intel Xeon X5670 2.93 GHz on TSUBAME 2.0
- Weak Scaling, each GPU handles 256 x 208 x 48(SP), 256 x 108 x 48 (DP)

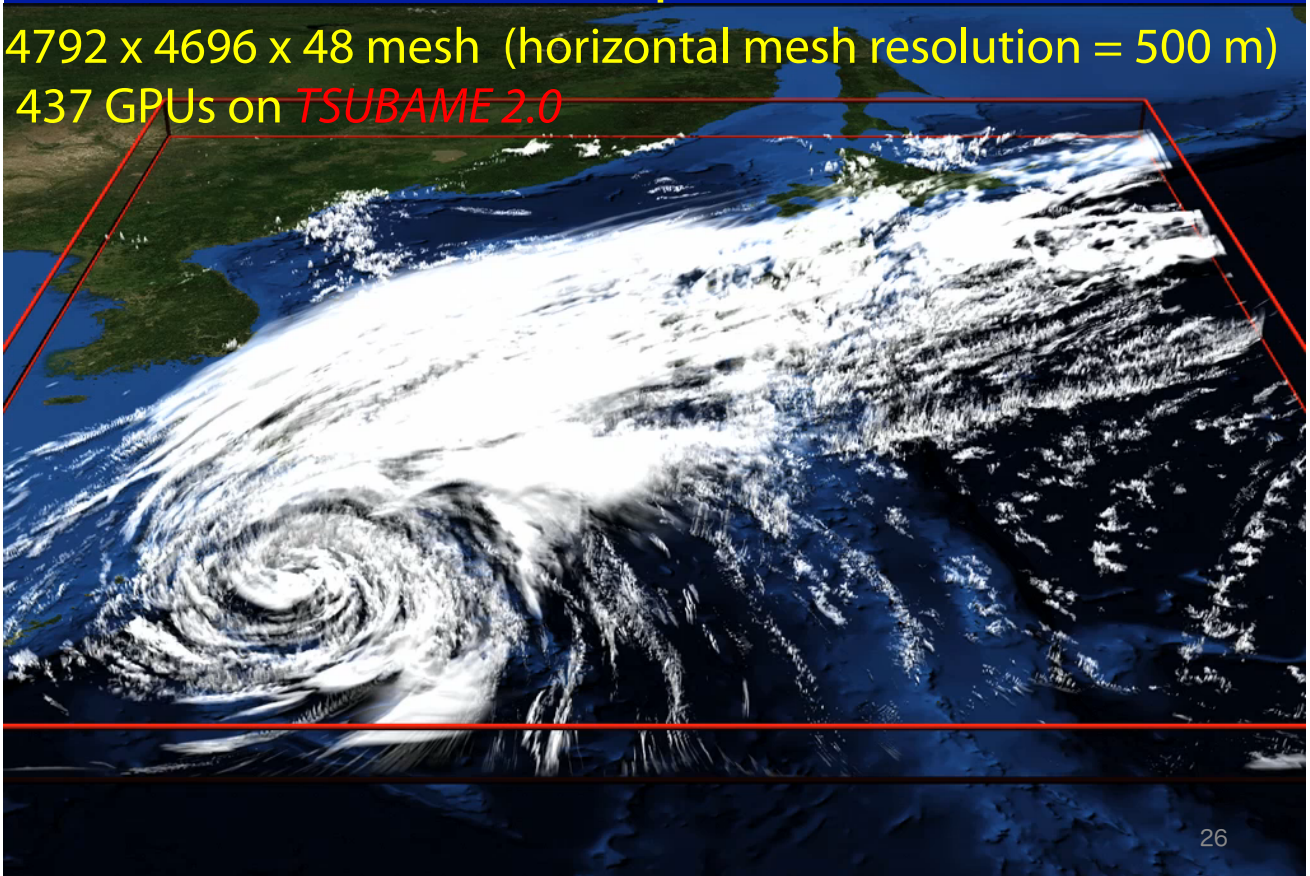
TSUBAME 2.0によるASUCAの計算性能



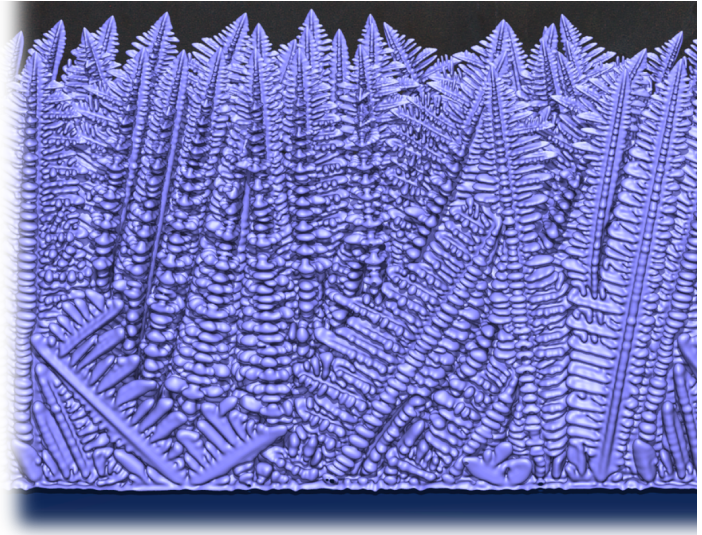
25

Real case of ASUCA operation

4792 x 4696 x 48 mesh (horizontal mesh resolution = 500 m)
437 GPUs on *TSUBAME 2.0*



26



Phase-field Simulation for Dendritic Solidification

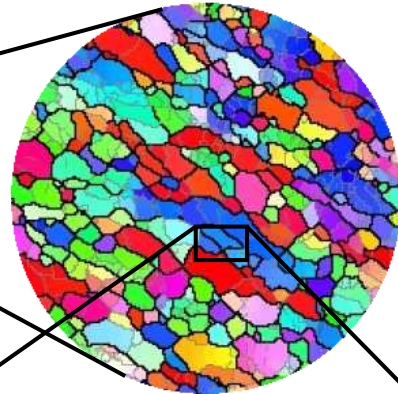
27

軽量・高強度の金属材料の開発

金属構造物



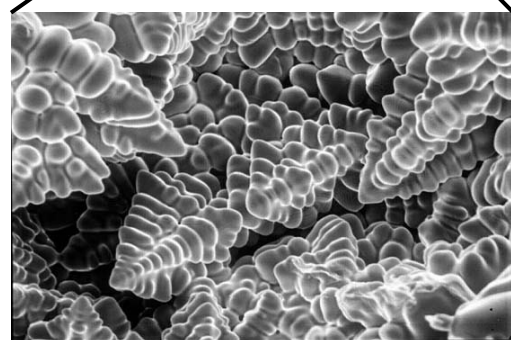
ミクロな組織構造



低炭素消費社会の実現

自動車や電車を軽量化し、
燃費の向上

ミクロな構造を制御することにより、
軽量で機械的強度の高い材料の開発

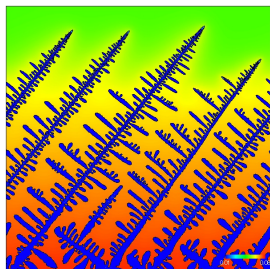


樹枝状構造

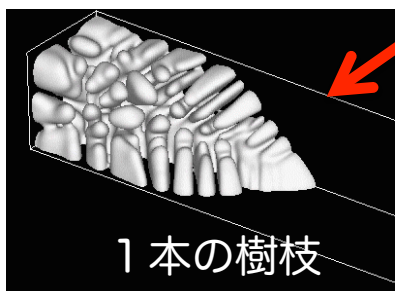
材料科学のペタスケールのシミュレーション

先行研究

2次元計算

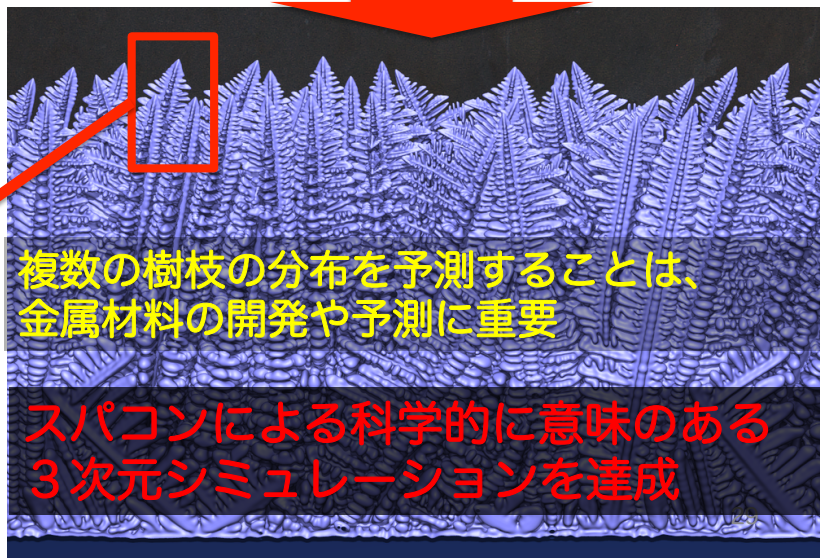


単純形状の3次元計算



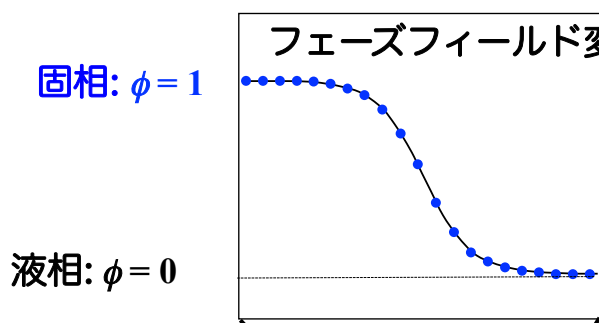
ペタスケールのフェーズフィールド計算

- ✓ GPUスーパーコンピュータ (スパコン)
- ✓ ペタスケール計算に向けた最適化手法
 - GPU-CPUを用いたハイブリッド計算

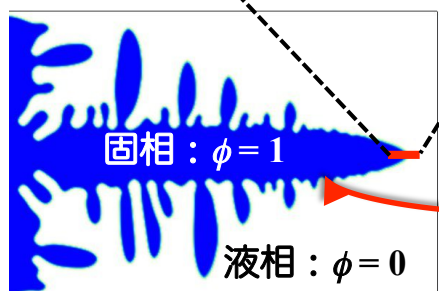


フェーズフィールドモデル

- フェーズフィールドモデルは非平衡統計力学から導出
- 複雑なマイクロな構造をシミュレーション



この手法は、境界面を明示的に追跡することなく、その場所を記述できる



固相液相間の境界 $\phi = 0.5$

フェーズフィールドモデル

Phase-field ϕ の時間発展 (Allen-Cahn方程式)

$$\frac{\partial \phi}{\partial t} = M_\phi \left[\underbrace{\nabla \cdot (a^2 \nabla \phi)}_{\text{拡散項}} + \frac{\partial}{\partial x} \left(a \frac{\partial a}{\partial \phi_x} |\nabla \phi|^2 \right) + \frac{\partial}{\partial y} \left(a \frac{\partial a}{\partial \phi_y} |\nabla \phi|^2 \right) \right. \\ \left. + \frac{\partial}{\partial z} \left(a \frac{\partial a}{\partial \phi_z} |\nabla \phi|^2 \right) - \Delta S \Delta T \frac{dp(\phi)}{d\phi} - W \frac{dq(\phi)}{d\phi} \right]$$

化学的駆動力
相変化のエネルギー

濃度 c の時間発展

$$\frac{\partial c}{\partial t} = \nabla \cdot [D_S \phi \nabla c_S + D_L (1 - \phi) \nabla c_L]$$

$$c_S = \frac{kc}{1 - \phi + k\phi}, \quad c_L = \frac{c}{1 - \phi + k\phi}, \quad k = c_S/c_L$$

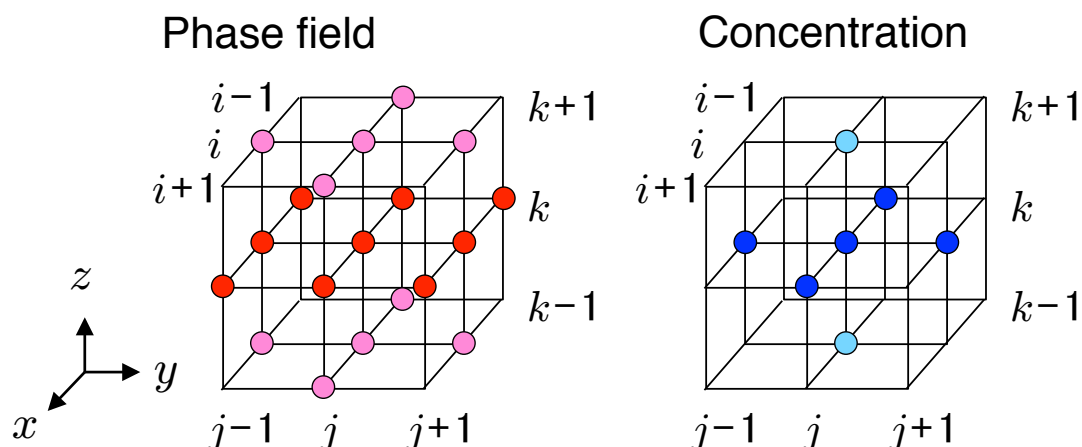
M_ϕ モビリティ
 a 異方性
 ΔS 融解エントロピー
 ΔT 過冷却

D_S 固相の拡散係数
 D_L 液相の拡散係数

31

フェーズフィールドのデータアクセス

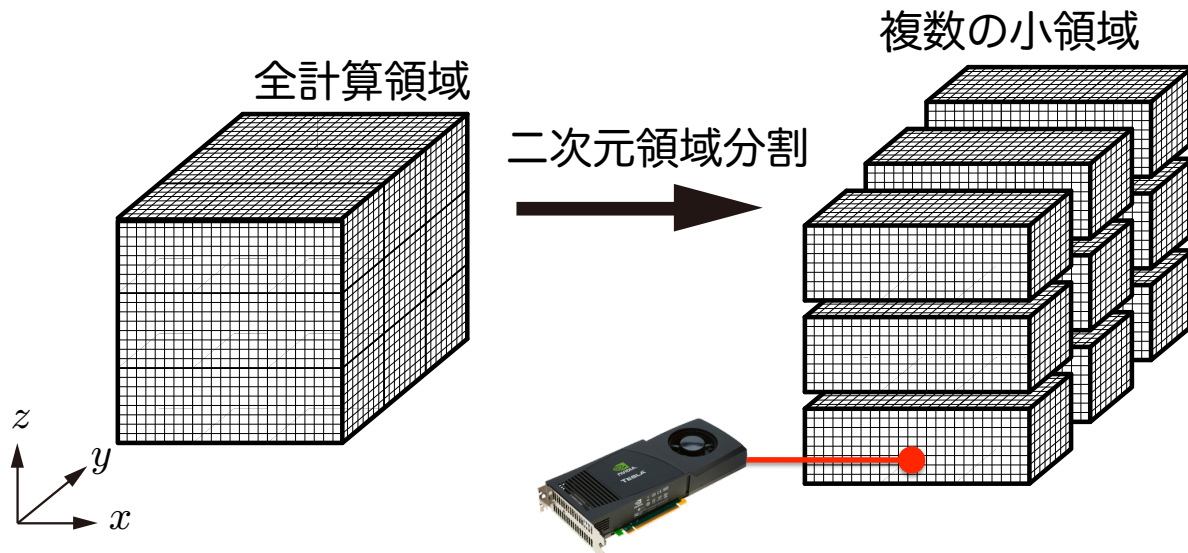
- 空間を格子に分割して計算 (気象計算と同じ)
- 1タイムステップ更新するために、
Phase-field変数は19点、濃度変数は7点
のデータ読み込みが必要。計算量も比較的大。
(気象計算よりもデータアクセスと計算量が多い)



32

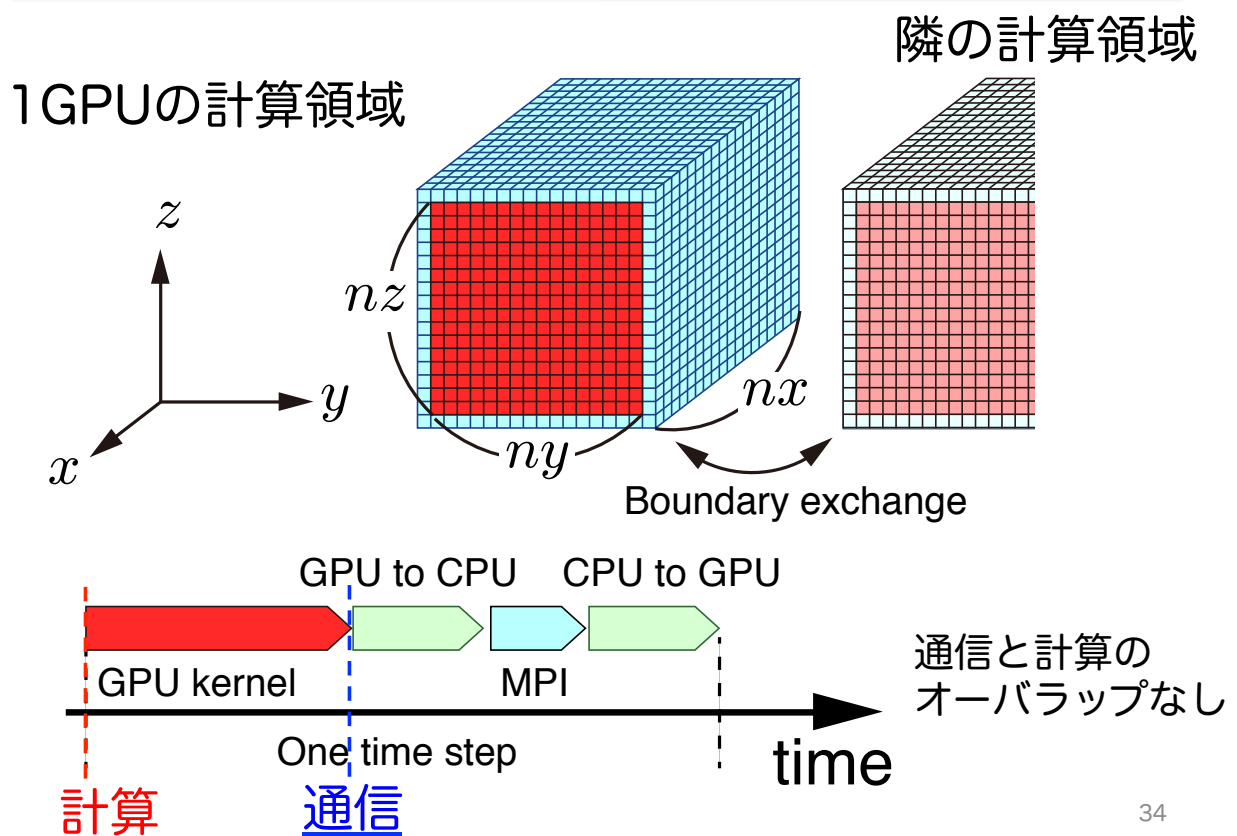
マルチGPU計算：領域分割

- 二次元領域分割 (y, z 方向)
 - ✓ 三次元分割はデータアクセスパターンが比較的複雑
性能低下を起こしやすい



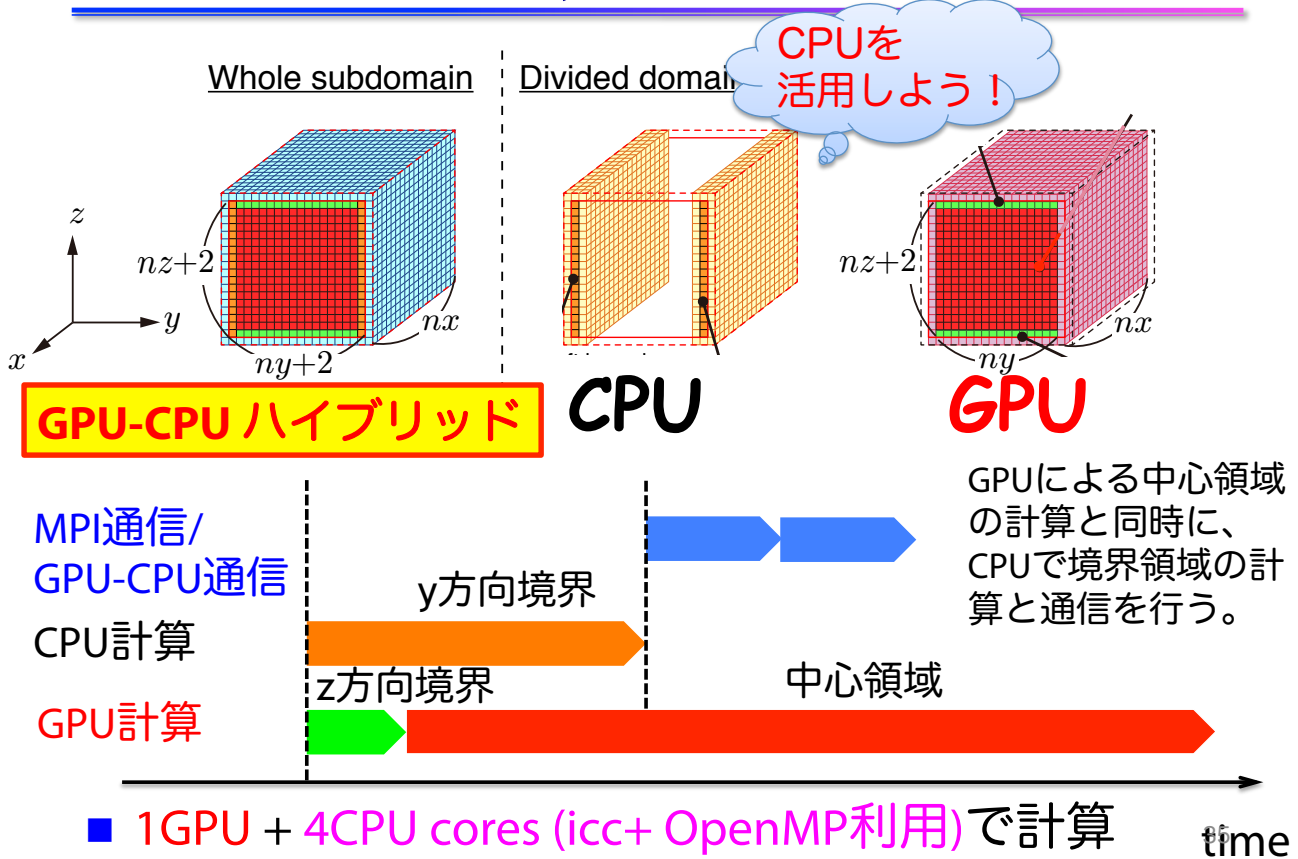
33

隠蔽なし実装：GPU-only method

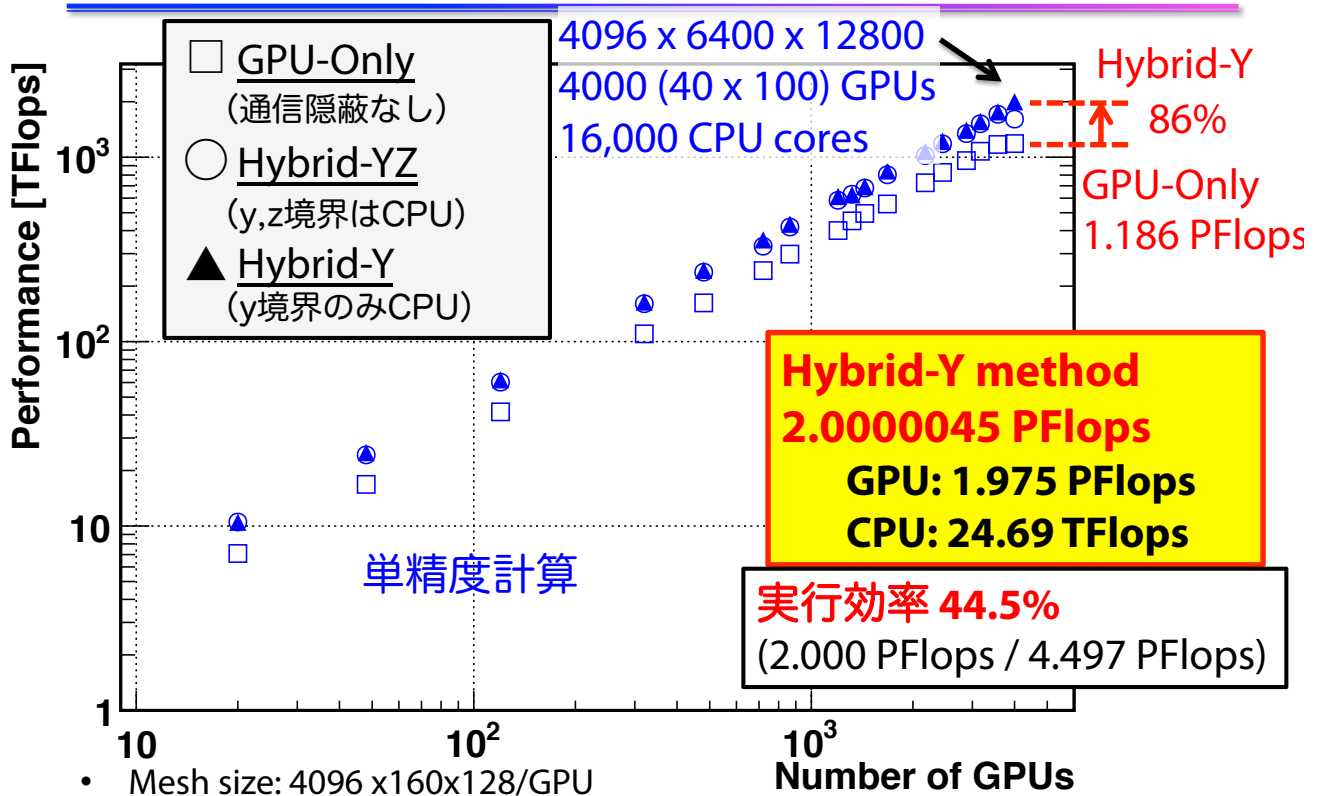


34

隠蔽あり実装 : Hybrid-Y method



TSUBAME 2.0での計算性能 (Weak scaling)



Weak Scaling: GPUあたりの問題サイズ一定で全体サイズを変える

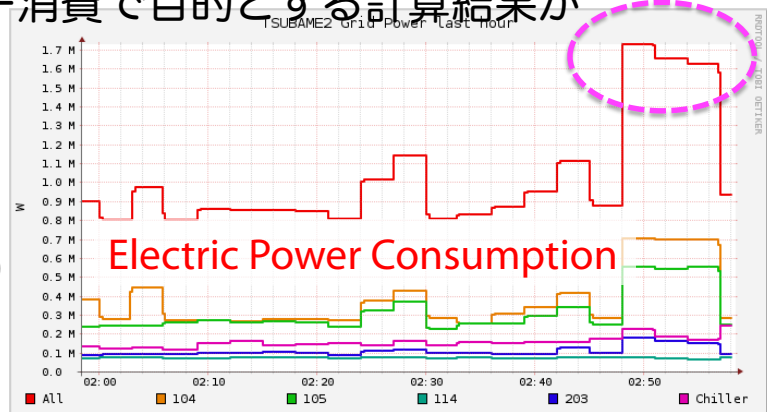
グリーンコンピューティング

- TSUBAME 2.0 では消費電力を詳細にモニタリングしている。
- フェーズフィールド計算 (実アプリケーション)
 - ✓ 2.000 PFlops (単精度計算)
 - ✓ 実行効率: ピーク性能の**44.5%** 2PFlopsシミュレーション
 - ✓ **低エネルギー消費: 1468 MFlops/W** ~1.36 MW
- ➔ 少ないエネルギー消費で目的とする計算結果が得られた。

参考

Linpack ベンチマーク

- ✓ 1.192 PFlops (倍精度計算)
- ✓ 実行効率52.1%
- ✓ 827.8 MFlops/W



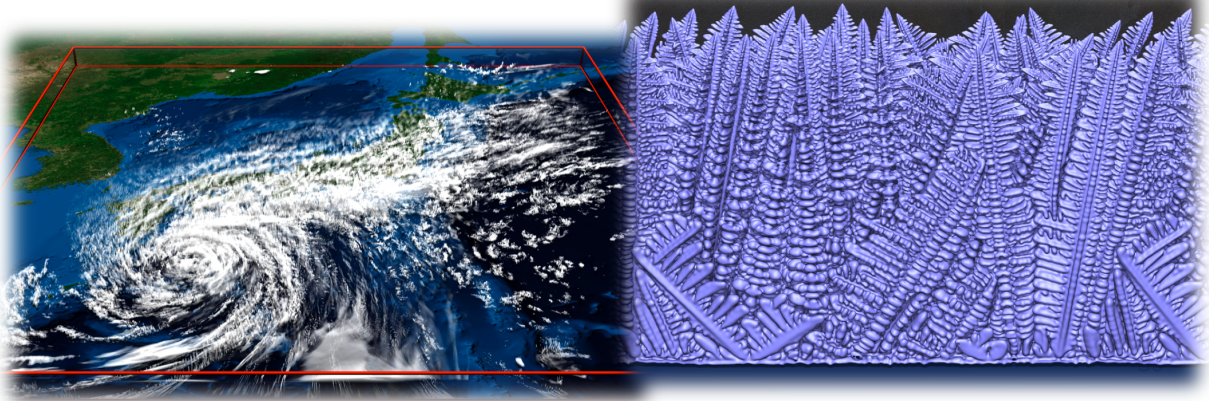
Large-scale Phase-field Simulation

4096 x 1024 x 4096 (periodic boundary)

(Special thanks to Mr. Kuroki for 3D rendering.)

スパコンによる計算結果の可視化

- 計算全体を把握するため、全領域の可視化が有効
- スパコン計算ではポスト処理による可視化
- スパコンによるメッシュ計算では多くのデータが出力
 - ✓ 計算に使用されるメモリサイズ程度のデータがそれぞれのステップで出力される (~ 1000GPU x 1 GByte x タイムステップ数)
- スパコンによる計算は可能であるが、データサイズが大きく、ポスト処理でのデータ移動は困難になってきている
- スパコンで計算と可視化を同時に行う等、データ移動しない可視化を考える必要がある



まとめ

GPUスパコンを用い、高い実行性能を達成した超大規模メッシュ計算を行った

- **メッシュ計算の大規模GPU計算**
 - ✓ フルGPUアプリケーション
 - ✓ GPUスパコンによる**1000 GPU 以上**を用いた大規模計算
- **マルチGPU計算のための最適化手法**
 - ✓ 計算による通信コストの隠蔽
 - ✓ **GPU-CPU ハイブリッド計算**
- **マルチGPU計算による実行性能**
 - ✓ **実アプリケーションによるペタスケールの実行性能**
 - ✓ 気象計算 ASUCA
14368 x 14284 x 48 計算格子で**3990 GPUs**を用い**145.0 TFlops**
 - ✓ フェーズフィールド法による樹枝状凝固成長計算
4,000 GPUs と 16,000 CPU coresを用い **2.000 PFlops, 実行効率 44%**
グリーンコンピューティング: 1468 MFlops/W